

Таким образом, получение неравновесной плазмы с помощью безэлектродного разряда возможно лишь в определенных условиях. При высоких и средних P она существует на ранних его стадиях. При низких P внутренние области разряда могут экранироваться его границами.

Список литературы

- [1] Быков Ю. В., Голубев С. В., Гольденберг А. Л., Зорин В. Г. // ЖТФ. 1984. Т. 54. Вып. 4. С. 723—726.
- [2] Грачев Л. П., Есаков И. И., Мишин Г. И., Никитин М. Ю., Ходатаев К. В. // ЖТФ. 1985. Т. 55. Вып. 2. С. 389—391.
- [3] Гильденбург В. Б., Ким А. В. // ЖЭТФ. 1978. Т. 74. Вып. 1. С. 141—147.
- [4] Гильденбург В. Б., Ким А. В. // Физика плазмы. 1980. Т. 6. № 4. С. 904—909.
- [5] Грачев Л. П., Есаков И. И., Ниязев М. П. и др. // ЖТФ. 1984. Т. 54. Вып. 7. С. 1353—1355.
- [6] Бродский Ю. Я., Венедиктов И. П., Голубев С. В. и др. // Письма в ЖТФ. 1980. Т. 10. Вып. 3. С. 187—190.
- [7] Райзер Ю. П. Лазерная искра и распространение разрядов. М.: Наука, 1974. 307 с.

Физико-технический институт
им. А. Ф. Иоффе АН СССР
Ленинград

Поступило в Редакцию
26 мая 1988 г.
В окончательной редакции
12 октября 1988 г.

ВЫСОКОВОЛЬТНЫЕ ЛАВИННЫЕ ДИОДНЫЕ СТРУКТУРЫ БОЛЬШОЙ ПЛОЩАДИ

А. Ф. Вильянов, Ю. В. Выжигин, Б. Н. Грессеров, В. В. Елисеев,
В. М. Ликунова, С. А. Максутова, Н. А. Соболев

Лавинный пробой кремниевых $p-n$ -переходов большой площади носит микроплазменный характер [1]. ВАХ в режиме лавинного пробоя (а следовательно, и лавинная перегруженность) определяется в основном свойствами микроплазмы (МП): их напряжением пробоя, разбросом между напряжениями включения отдельных МП, площадью, занятой включенными МП. В работе [2] сообщается о диодных структурах с напряжением лавинного пробоя $U_{\text{пр}}=20-250$ В площадью до 2 см^2 , в которых при $j \geq 10 \text{ А/см}^2$ наблюдается на большей части $p-n$ -перехода лавинный пробой. В работе [3] удалось получить лавинные диоды с $U_{\text{пр}}=0.5-1.9$ кВ площадью до 1 см^2 .

Настоящая работа посвящена исследованию возможности создания высоковольтных лавинных диодных структур большой площади. В целом ряде работ [4-7] было показано, что в структурах с $U_{\text{пр}} > 1$ кВ возникновение низковольтных МП связано с образованием в области объемного заряда p^+-n -перехода структурных дефектов с расположенным в верхней половине запрещенной зоны глубокими донорными уровнями. Концентрация глубоких уровней в канале МП может составлять $3-14 \cdot 10^{12} \text{ см}^{-3}$ [4, 6, 7] в структурах с напряжением пробоя $U_{\text{пр}}=3-6$ кВ, т. е. относительное снижение напряжения пробоя первых микроплазм может составлять $0.1-0.3 U_{\text{пр}}$ [8]. Поэтому в процессе изготовления диодных структур нами использовались современные технологические методы обработки поверхности полупроводниковых пластин, проведения высокотемпературных процессов и создания контактов, которые позволяли снизить концентрацию глубоких уровней за счет предотвращения проникновения внутрь пластин быстroredифундирующих примесных атомов и снижения степени пересыщения кремния вакансиями или междуузельными атомами.

Исследуемые p^+-n-n^+ -структуры изготавливались с помощью диффузии акцепторных (бора и алюминия) и донорной (фосфора) примесей [3, 5] в нейтрально-легированный кремний с удельным сопротивлением $140-300 \text{ Ом}\cdot\text{см}$ (его разброс составлял 3—5 %). Глубины залегания p^+-n и $n-n^+$ -переходов составляли 90—100 и 20—40 мкм, поверхностные концентрации бора и фосфора $\sim 10^{20} \text{ см}^{-3}$, алюминия $\sim 10^{17} \text{ см}^{-3}$, время жизни дырок в n -базе диод-

ных структур толщиной 520–620 мкм и площадью 12–23 см² составляло $\tau = 100\text{--}40$ нс. Концентрация глубоких уровней в каналах МП лежала в диапазоне $1\text{--}4 \cdot 10^{11}$ см⁻³.

На рис. 1 приведены ВАХ диодов площадью 23 см². В области обратных токов более 20 А в структурах с экстраполированным напряжением пробоя 3–6 кВ ВАХ линейны. На участке ВАХ, расположенному перед участком лавинного пробоя, обратный ток был не более 10 мА при 300 К.

На рис. 2 представлены зависимости дифференциального сопротивления диодных структур R_d^* от обратных тока и пробивного напряжения. При плотностях обратного тока ~ 1 А/см²

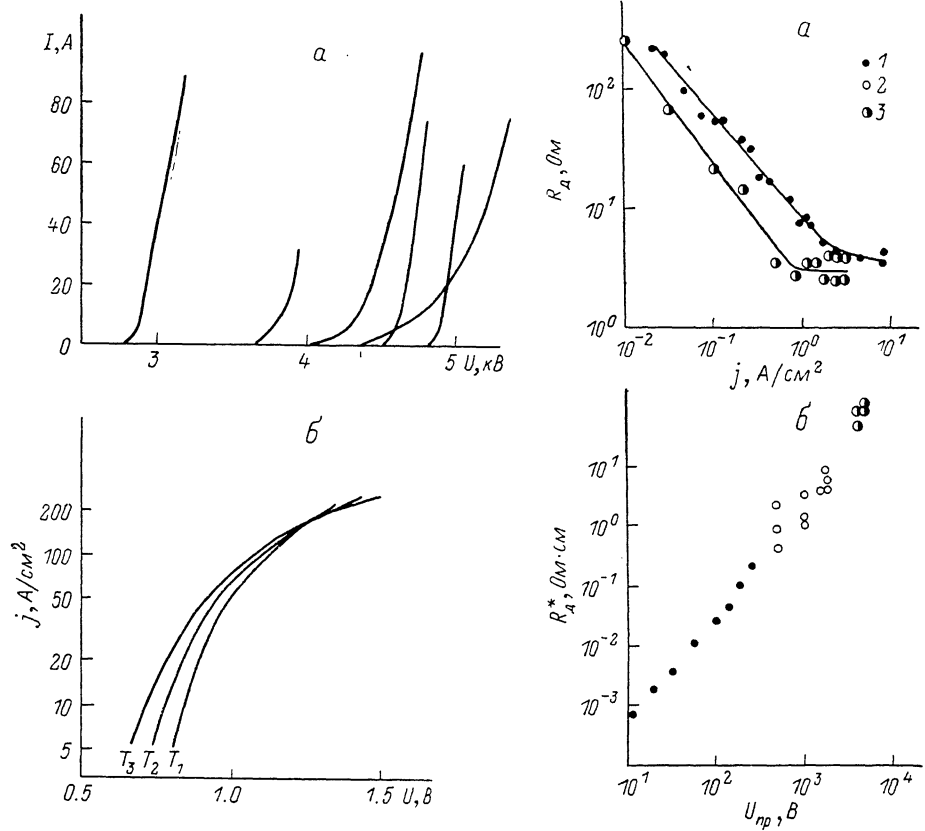


Рис. 1. Вольт-амперные характеристики диодов.

а — обратные, измеренные на прямоугольных импульсах длительностью 5 мкс; б — прямые ($T_1=25$ °С, $T_2=75$ °С, $T_3=125$ °С).

Рис. 2. Зависимости дифференциального сопротивления от плотности обратного тока (а) и пробивного напряжения (б).

$$R_d^* = R_d S. \quad \text{б: } 1 \text{ — данные [2], } 2 \text{ — [3], } 3 \text{ — наши.}$$

наблюдается насыщение значений R_d . Следуя работе [2], можно рассчитать часть площади $p-n$ -перехода, где наблюдается лавинное умножение носителей заряда, по формуле

$$\delta = R_{\text{посл}} S_{\text{МП}} / R_d S,$$

где $R_{\text{посл}}$ — последовательное сопротивление МП, $S_{\text{МП}}$ и S — площадь МП и диодной структуры.

Последовательное сопротивление МП измерялось из дифференциальной ВАХ и составляло $R_{\text{посл}}=3\text{--}6 \cdot 10^5$ Ом. Значения диаметра МП брались из [1]. Оценки показывают, что δ близко к единице, т. е. при плотностях обратного тока ~ 1 А/см² лавинное умножение происходит на большей части площади $p-n$ -перехода. На рис. 2, б приведены зависимости дифференциального сопротивления от обратного напряжения, пересчитанные для площади 1 см² (R_d^*). Для сравнения приведены данные работ [2, 3]. Поскольку в нашем случае дифференциальное сопротивление также квадратично зависит от пробивного напряжения, то

подтверждается вывод работы [2], что именно термическая составляющая вносит наибольший вклад в последовательное сопротивление МП.

На рис. 1, б приведены типичные прямые ветви ВАХ диодных структур при различных температурах. Эти зависимости хорошо описываются известными формулами [9] при плотности тока насыщения $j_s = 10^{-12} \text{ A/cm}^2$, температурной зависимости $\tau \sim T^2$, а $j_s/p_i^2 = \text{const}(T)$ (p_i — собственная концентрация носителей заряда) [10]. Отметим, что высокие значения времени жизни дырок в базе (отношение эффективной ширины базы к диффузационной длине неосновных носителей заряда составляет 0.5—1) обеспечивают относительно малые прямые падения напряжения (1.25—1.4 В при токе 4000 А). Увеличение прямых падений при $j \geq 10 \text{ A/cm}^2$ связано с уменьшением коэффициентов инжекции, а при $j \geq 100 \text{ A/cm}^2$ существенное влияние начинает оказывать электронно-дырочное рассеяние.

Проведенные исследования показали, что современные технологические методы позволяют изготавливать лавинные диоды на напряжение пробоя 3—6 кВ и рабочий ток 1250 А. При этом для структур с площадью выпрямительного элемента 23 см² уже при плотности обратного тока $\sim 1 \text{ A/cm}^2$ наблюдается лавинное умножение носителей заряда практически по всей плошади.

Список литературы

- [1] Гречев И. В., Сережкин Ю. Н. Лавинный пробой $p-n$ -перехода в полупроводниках. Л.: Энергия, 1980. 152 с.
- [2] Зубрилов А. С., Шуман В. Б. // ЖТФ. 1987. Т. 57. Вып. 9. С. 1843—1845.
- [3] Евсеев Ю. А. Полупроводниковые приборы для мощных высоковольтных преобразовательных устройств. М.: Энергия, 1978. 193 с.
- [4] Богородский О. В., Воронцова Т. П., Жегутова О. С. и др. // ЖТФ. 1985. Т. 55. Вып. 7. С. 1419—1426.
- [5] Sobolev N. A., Chelnokov V. E. // Proc. 2nd Intern. Autumn School CAPEST / Ed. H. Richter Frankfurt, 1987. Р. 179—184.
- [6] Астрова Е. В., Волле В. М., Воронков В. Б. и др. // ФТП. 1986. Т. 20. Вып. 11. С. 2122—2125.
- [7] Выжигин Ю. В., Грессеров Б. Н., Соболев Н. А. // ФТП. 1988. Т. 22. Вып. 3. С. 536—538.
- [8] Дерменжи П. Г., Кузьмин В. А., Крюкова Н. Н. и др. Расчет силовых полупроводниковых приборов. М.: Энергия, 1980. 185 с.
- [9] Отблеск А. Е., Челноков В. Е. Физические проблемы в силовой полупроводниковой электронике. Л.: Наука, 1984. 238 с.
- [10] Грессеров Б. Н., Мнацаканов Т. Т. // ЖТФ. 1986. Т. 56. Вып. 9. С. 1827—1829.

Физико-технический институт
им. А. Ф. Иоффе АН ССР
Ленинград

Поступило в Редакцию
3 июня 1988 г.

06; 07; 08

Журнал технической физики, т. 59, в. 10, 1989

ВЛИЯНИЕ УЛЬТРАЗВУКА НА ФОТОЭЛЕКТРИЧЕСКИЕ ХАРАКТЕРИСТИКИ ТОНКОПЛЕНОЧНЫХ ЭЛЕКТРОЛЮМИНЕСЦЕНТНЫХ СТРУКТУР

В. Г. Акульшин, В. В. Дякин, В. Н. Лысенко, В. Е. Родионов

В последние годы возрос интерес к исследованию влияния акустических волн и колебаний на свойства полупроводниковых и диэлектрических кристаллов. В связи с этим был обнаружен ряд новых эффектов, таких как акустоэмиссия [1], акустохимические реакции [2] и др. Поскольку в настоящее время в микроэлектронике находит все большее применение тонкопленочная технология, то представляет интерес исследование влияния ультразвука на свойства тонкопленочных, в том числе электролюминесцентных структур (ТПЭЛС). ТПЭЛС на основе ZnS, легированного Mn, перспективны для оптоэлектроники в связи с возможностью создания на их основе различного типа индикаторов и устройств отображения информации с высокой яркостью, большой крутизной вольт-яркостной характеристики (ВЯХ), высокой контрастностью изображения и др. [3].

Целью данной работы явилось исследование влияния ультразвуковой обработки на фотоэлектрические характеристики тонкопленочных электролюминесцентных структур.